

FIG. 1A-1

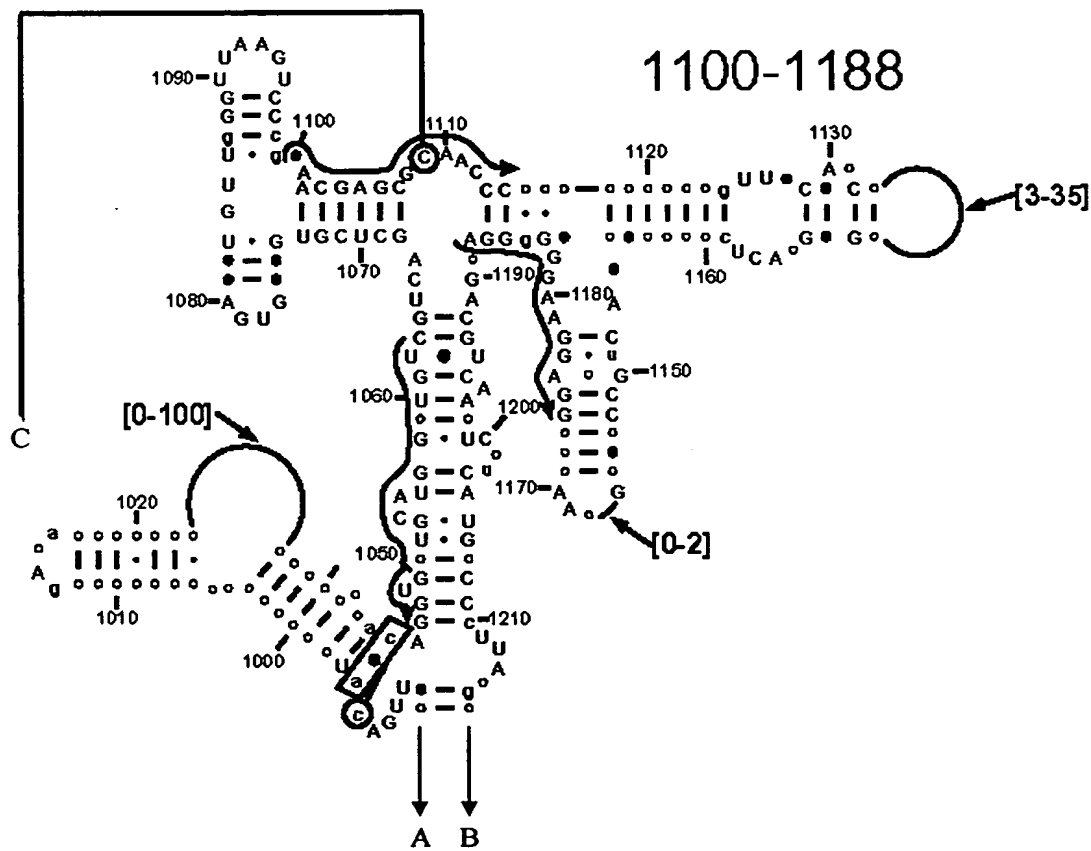


FIG. 1A-2

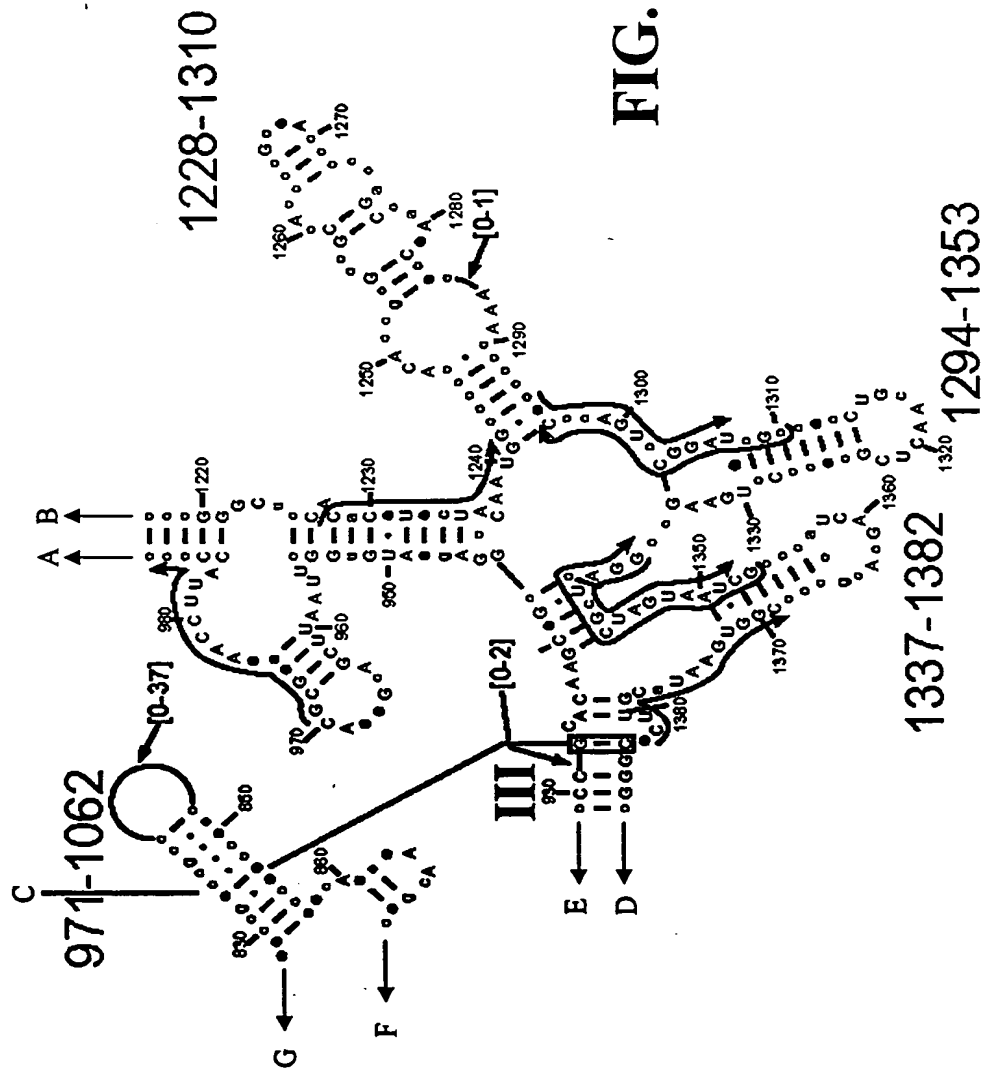


FIG. 1A-3

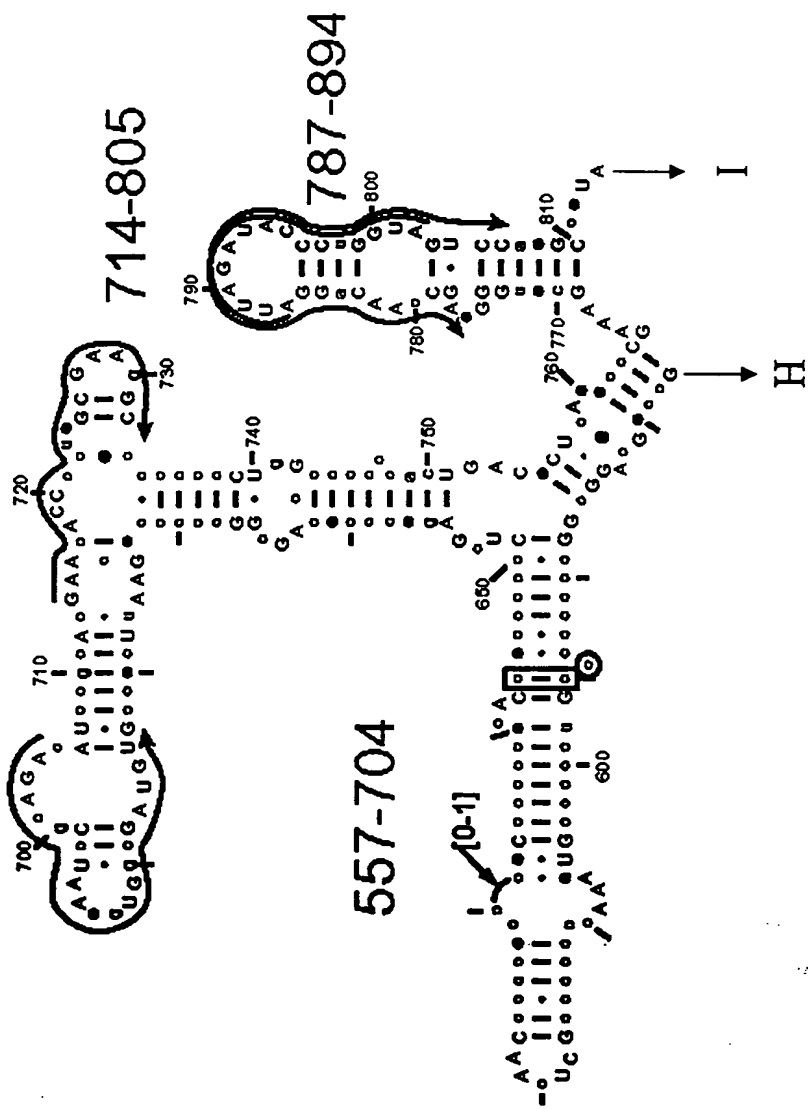
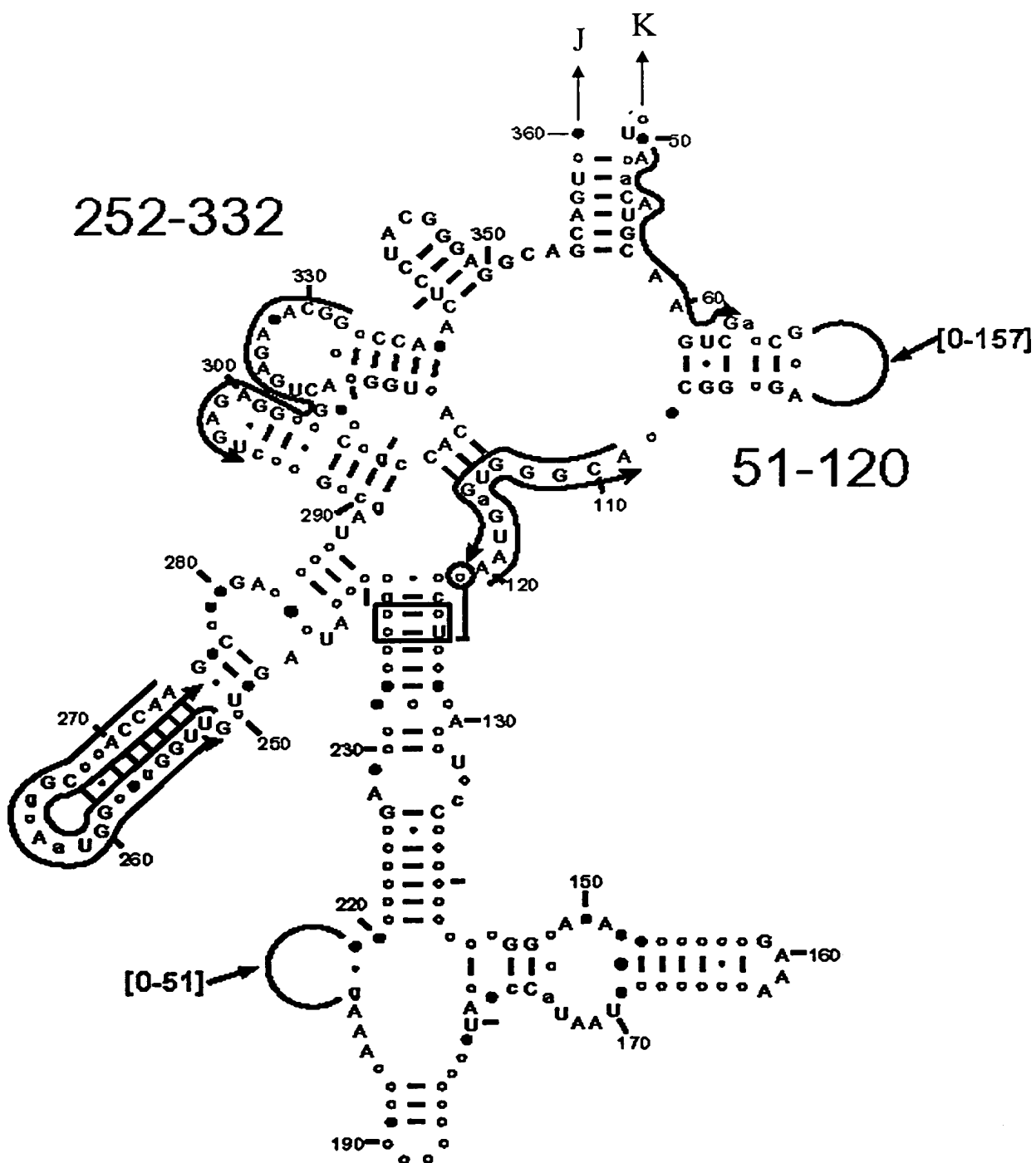


FIG. 1A-4



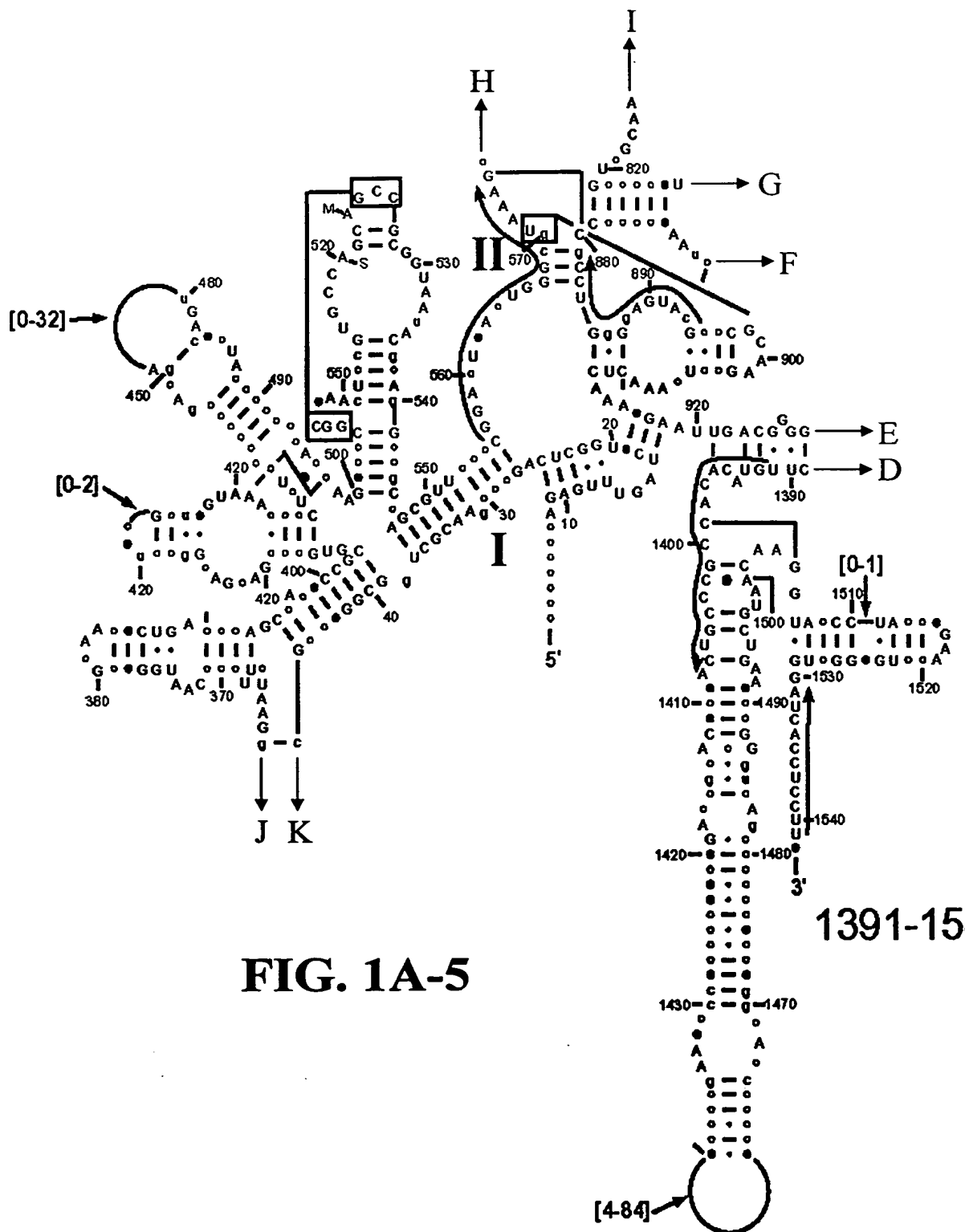


FIG. 1B

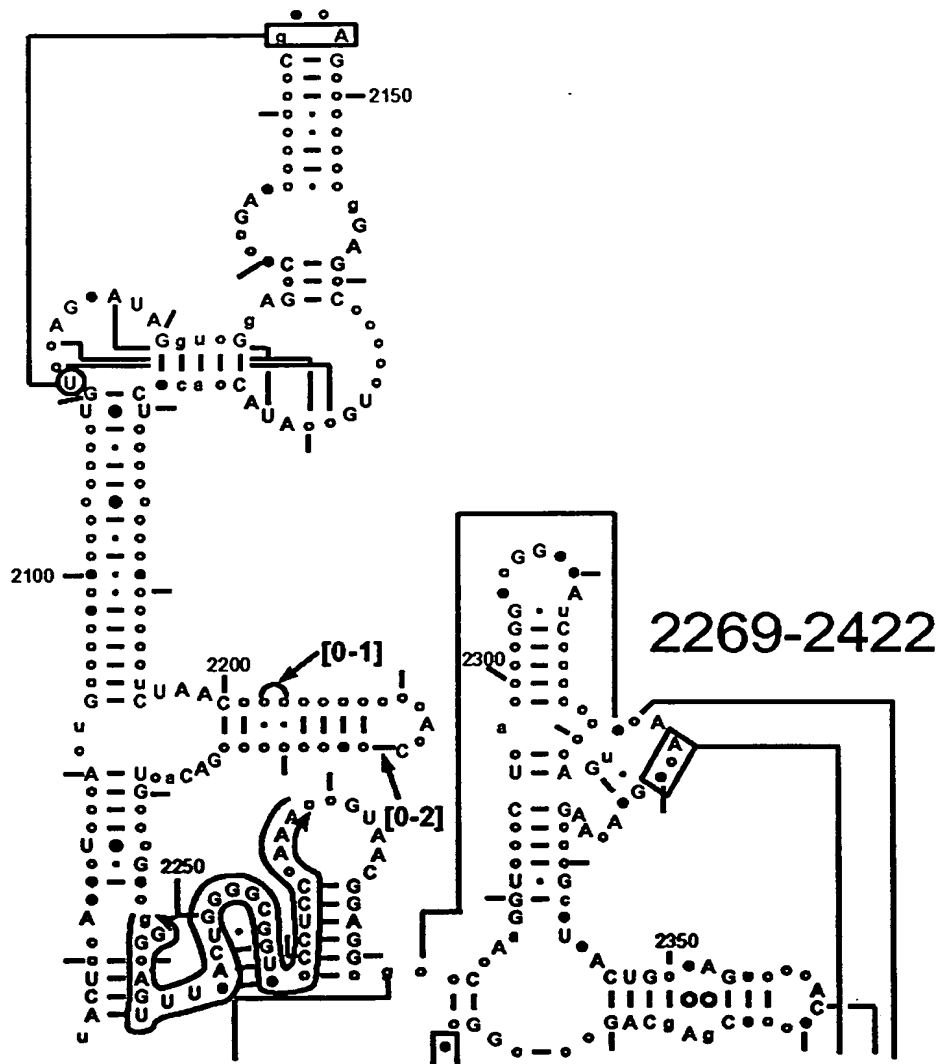


FIG. 1C

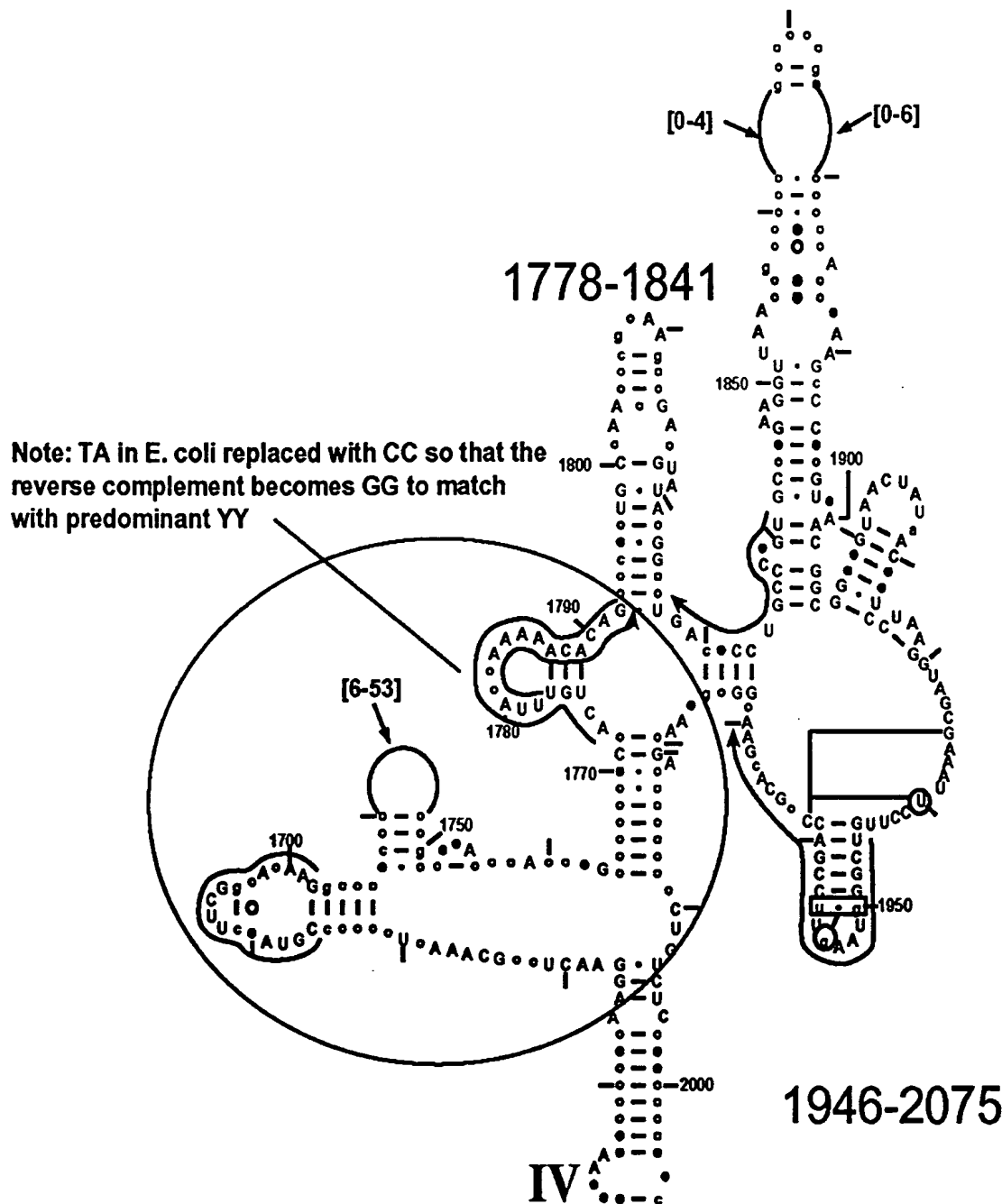


FIG. 1D

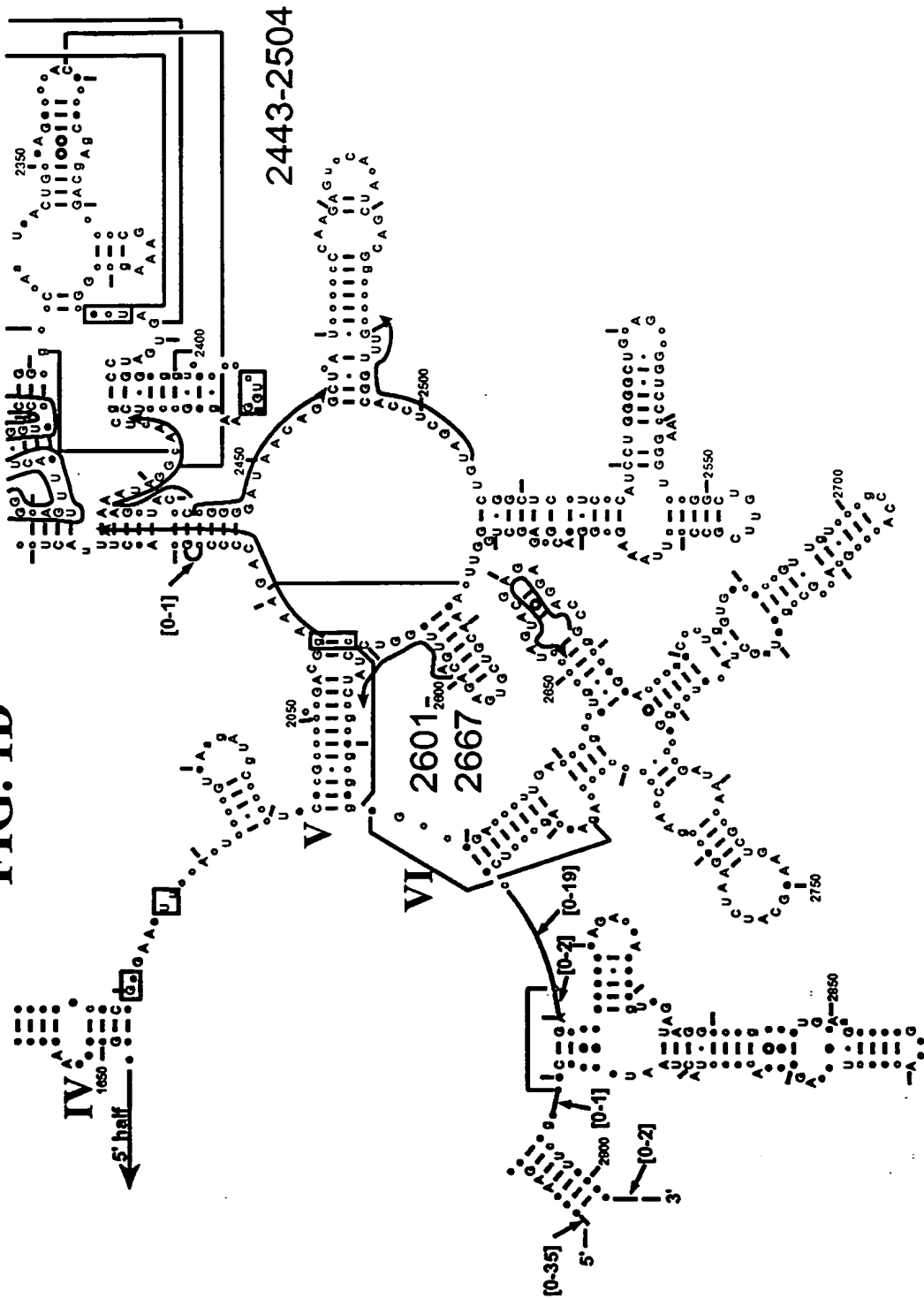


FIG. 1E

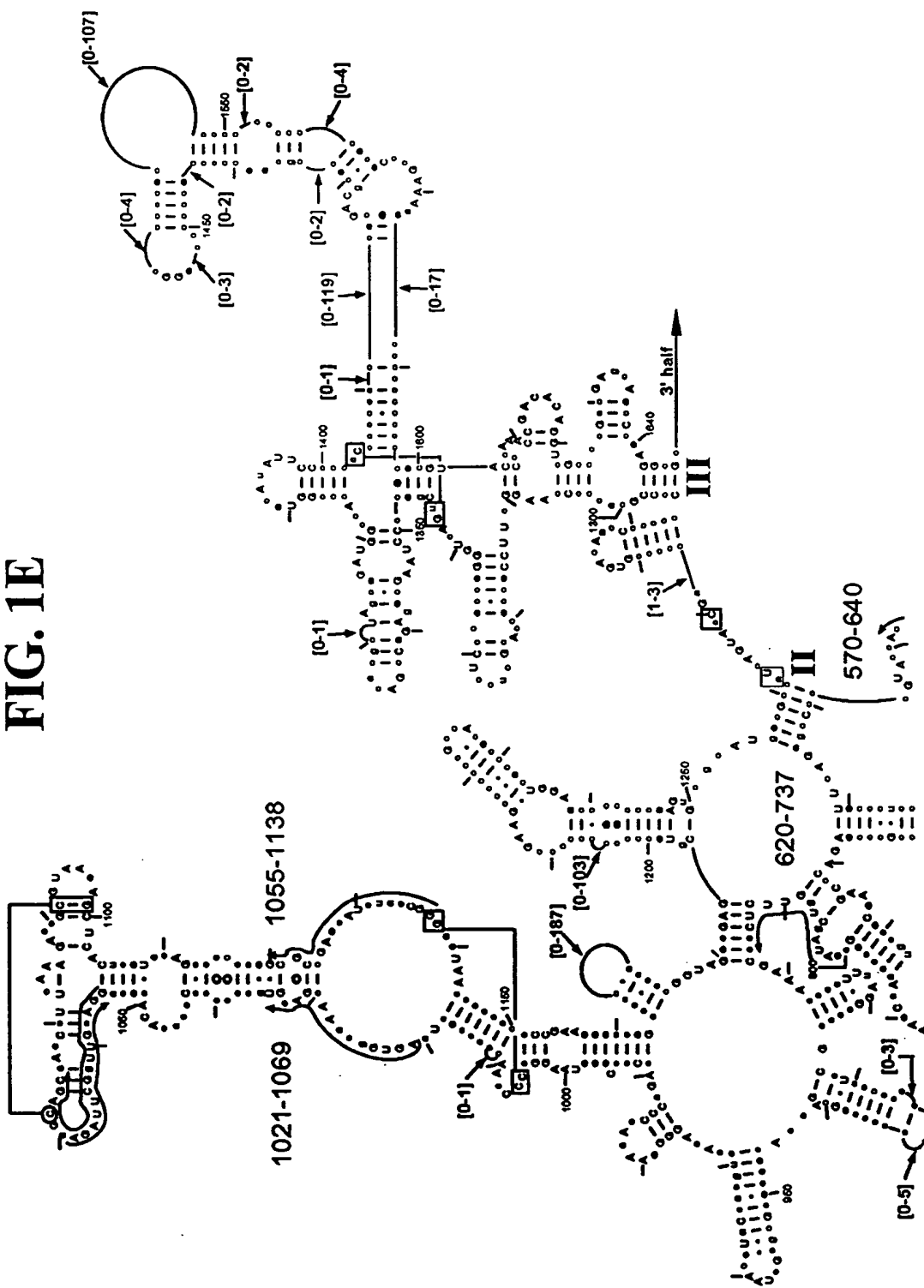


FIG. 1F

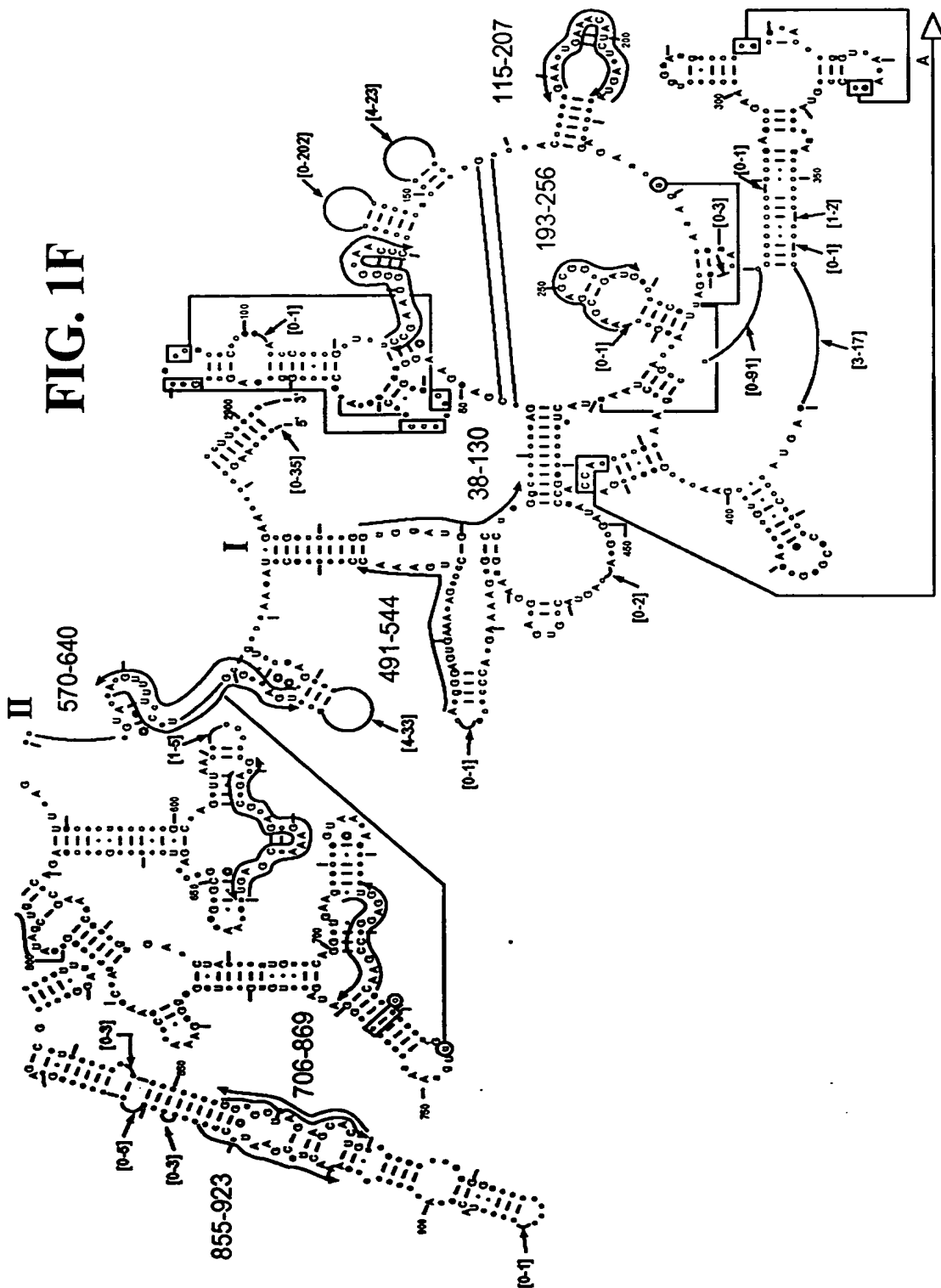
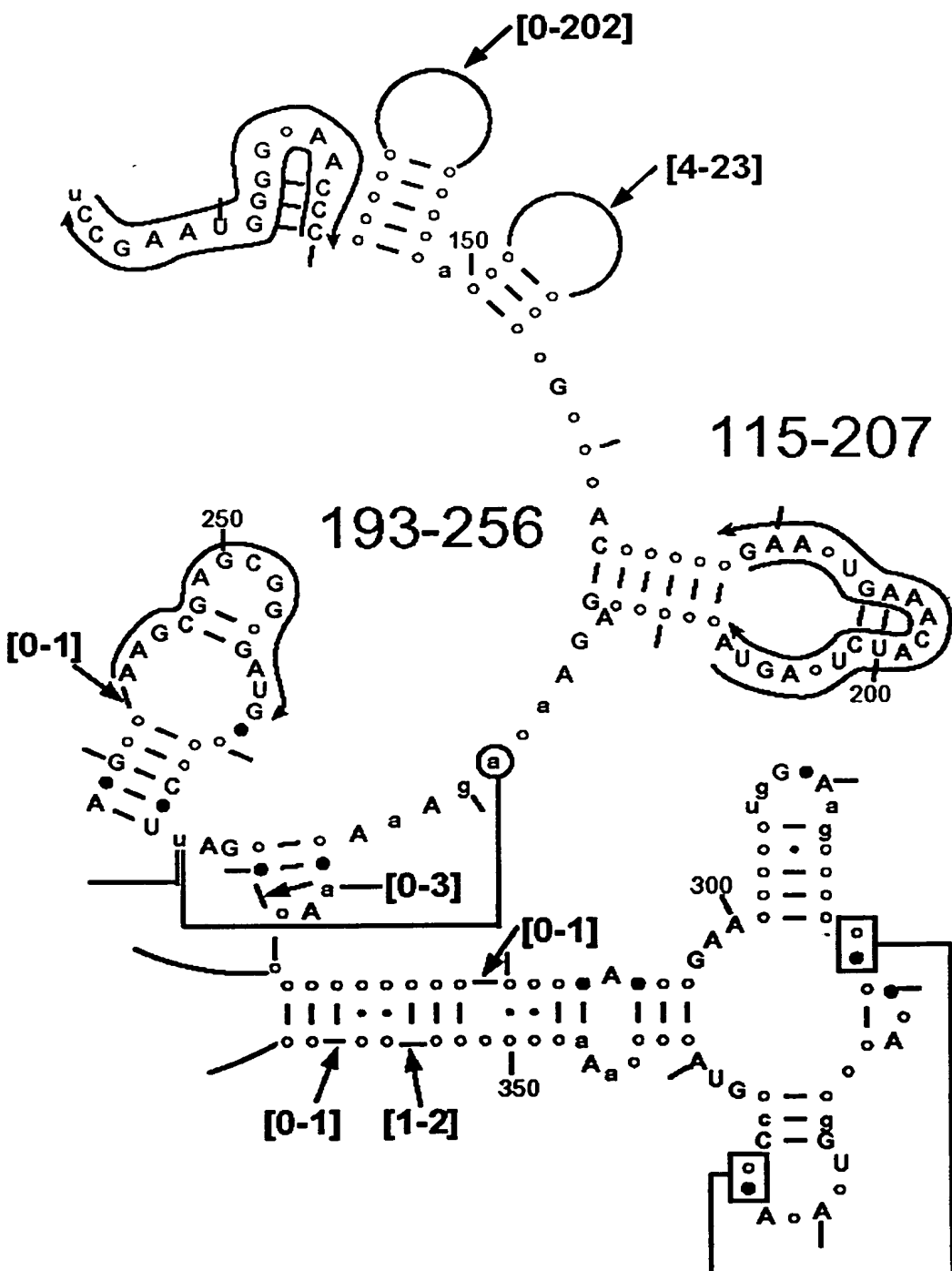


FIG. 1G



1840-1903

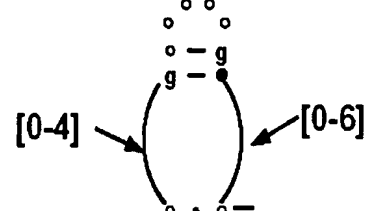
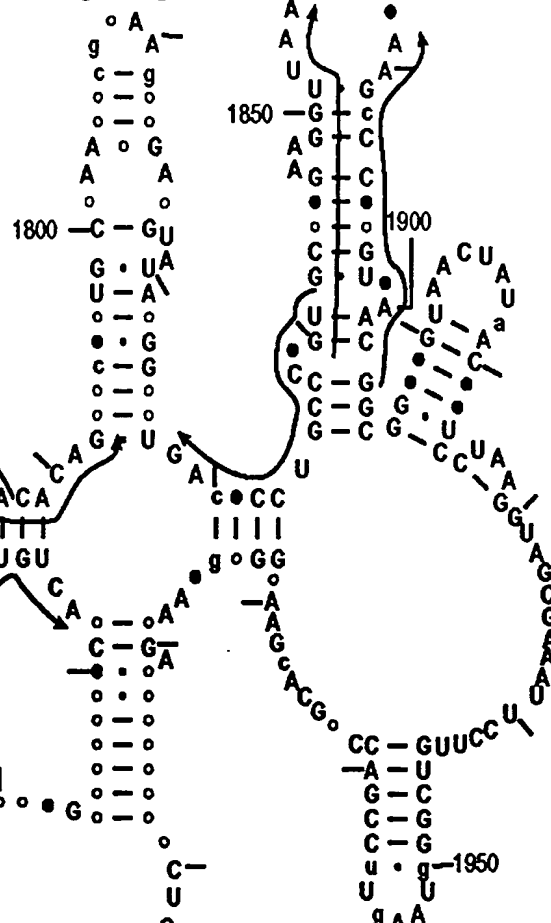


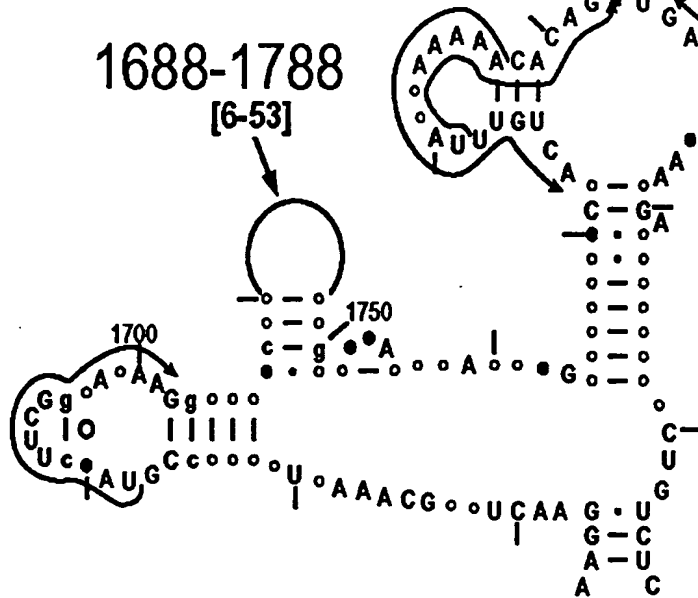
FIG. 1H

1778-1841



1688-1788

[6-53]



1700

1750

1950

FIG. 2

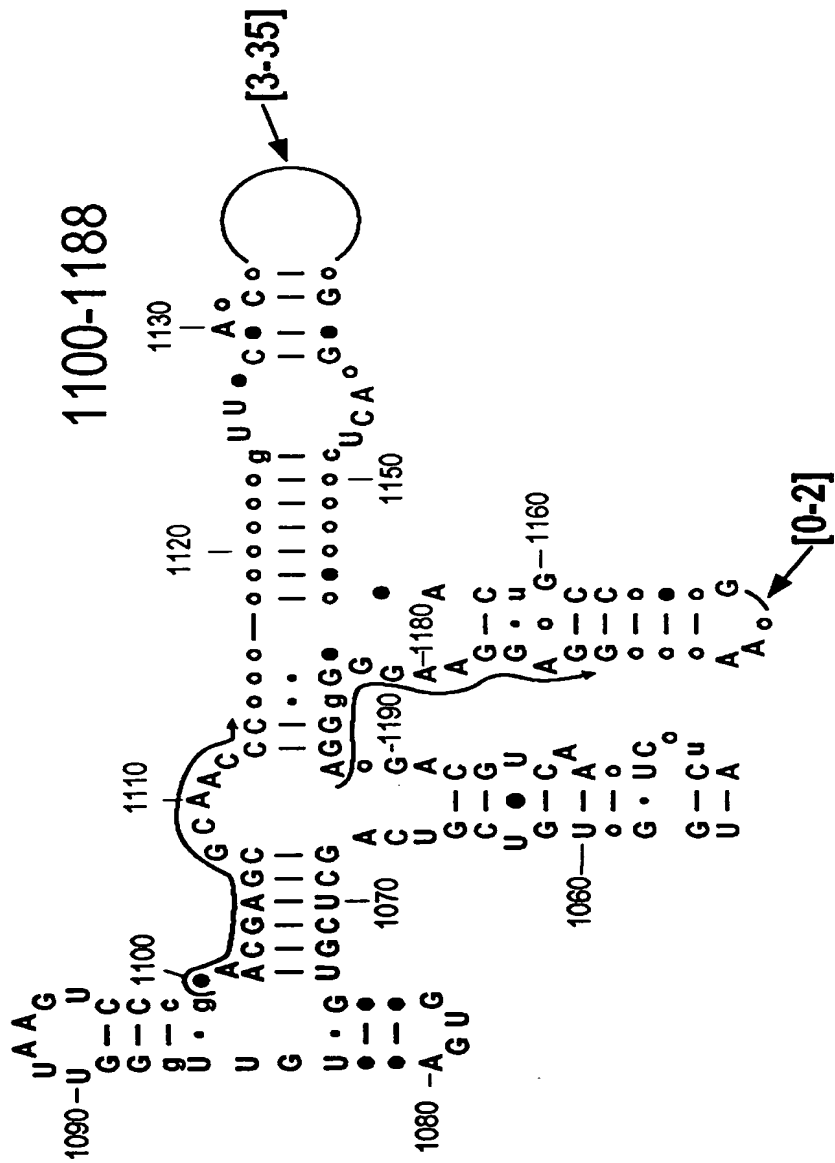


FIG. 3

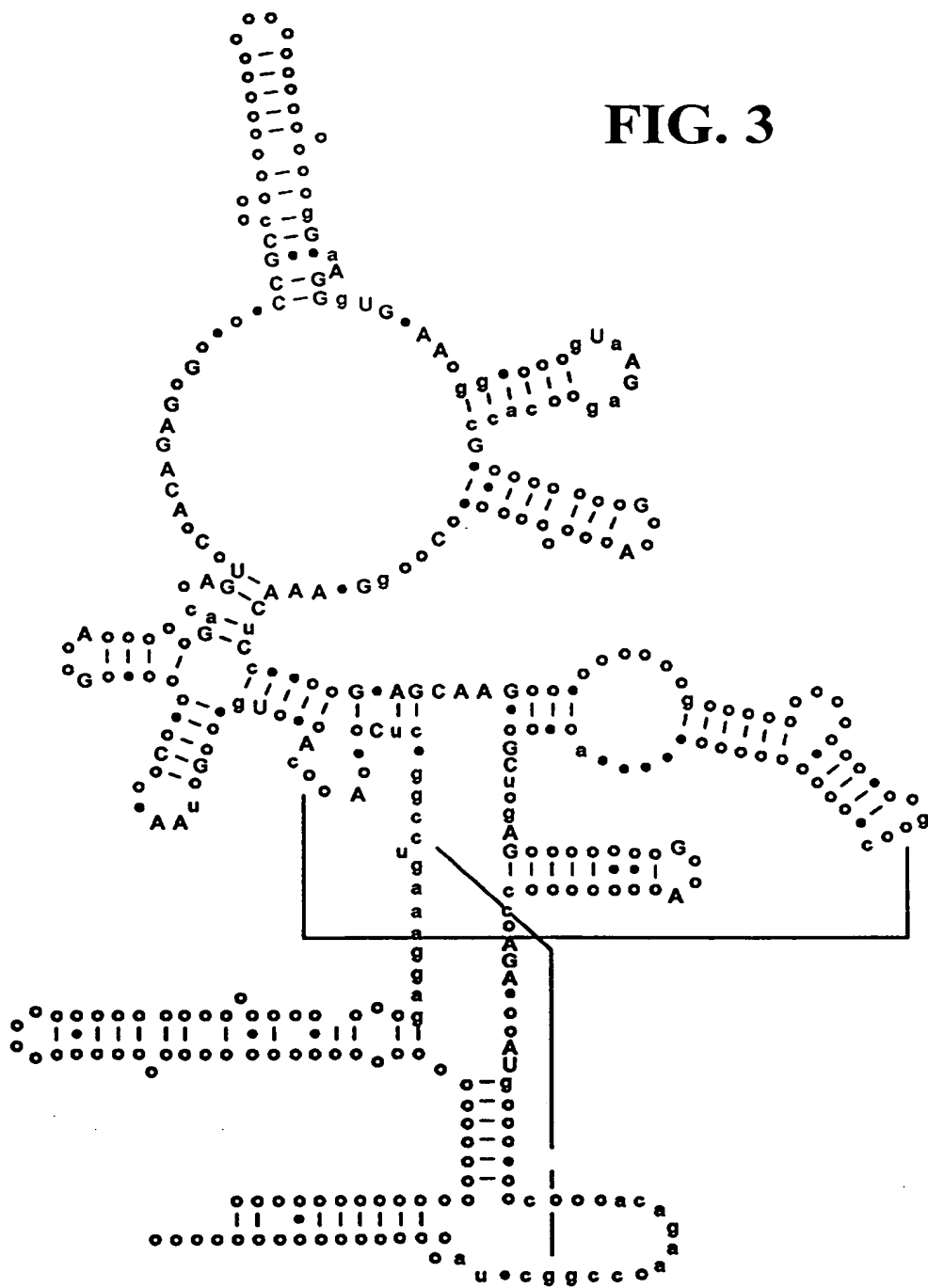


FIG. 4

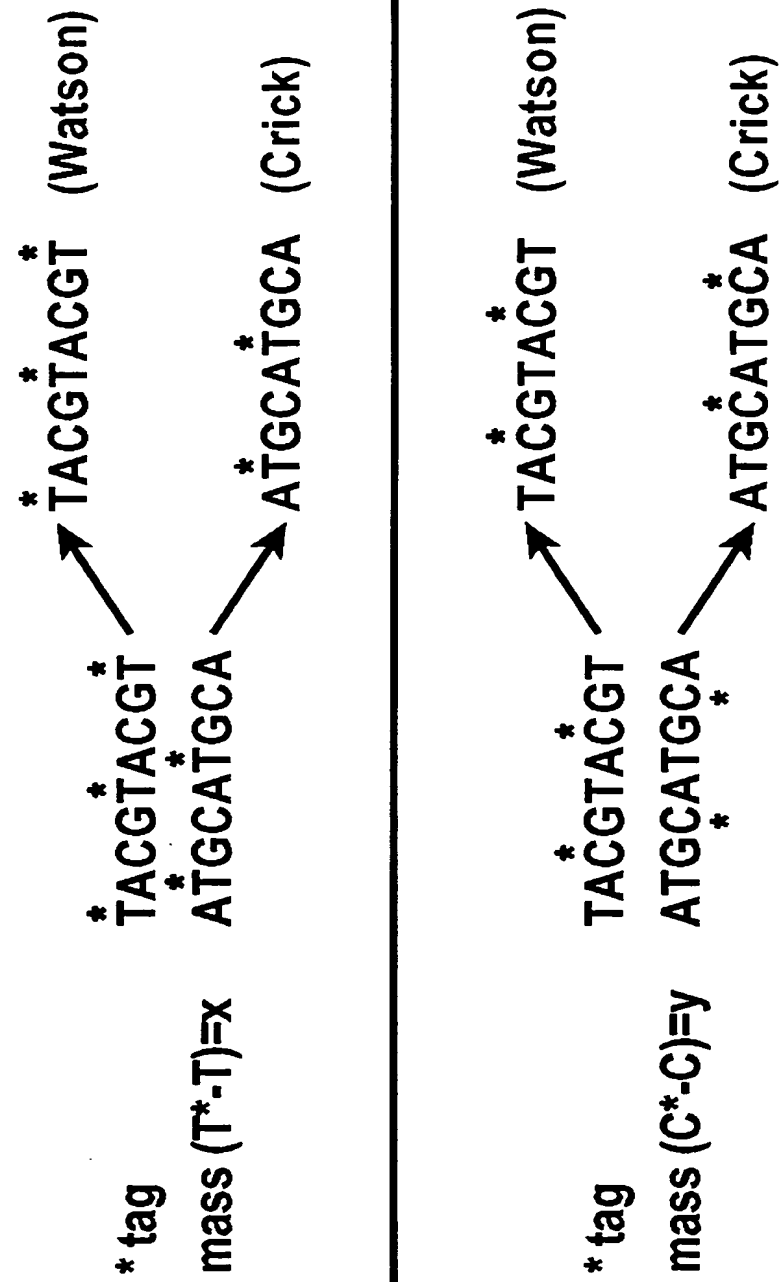


FIG. 5

B. anthracis ($A_{14}G_9C_{14}T_9$) $MW_{meas} = 14072.2$)

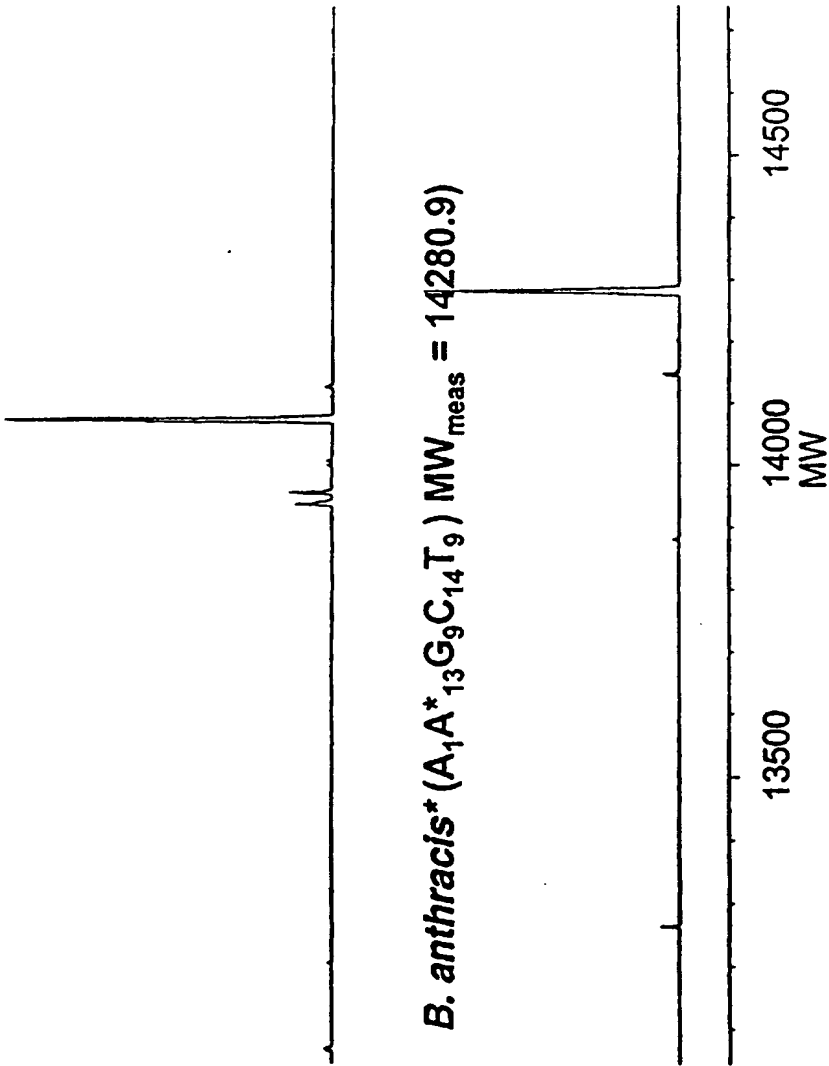


FIG. 6

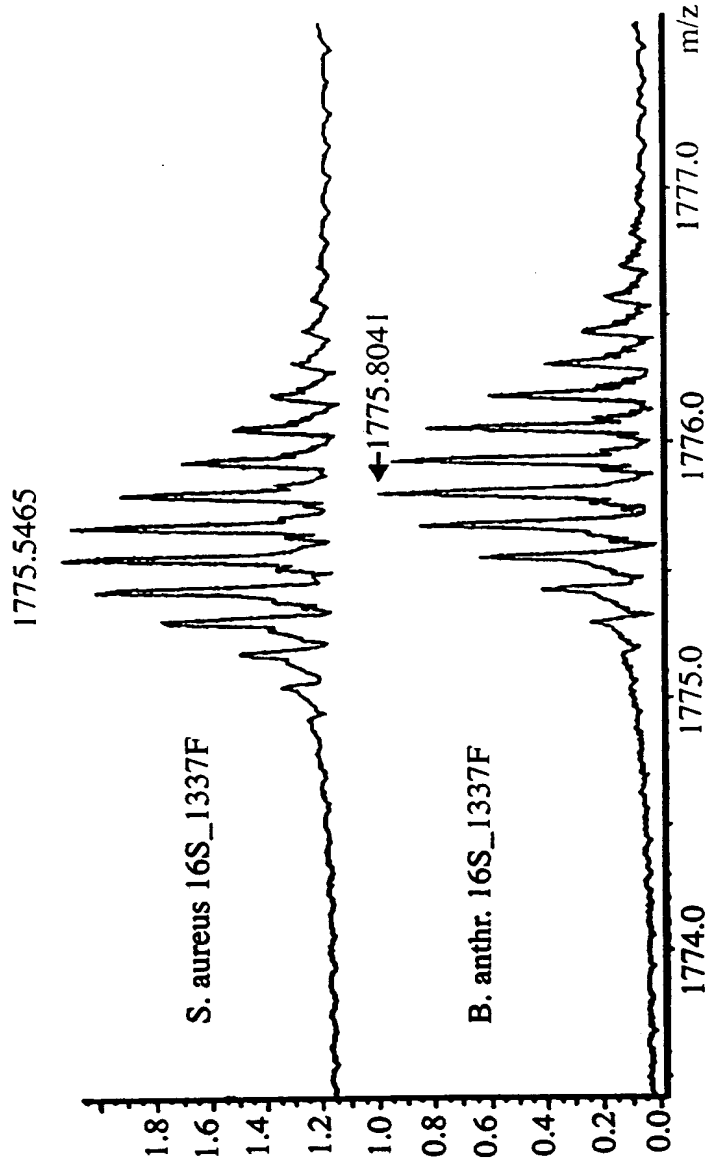


FIG. 7

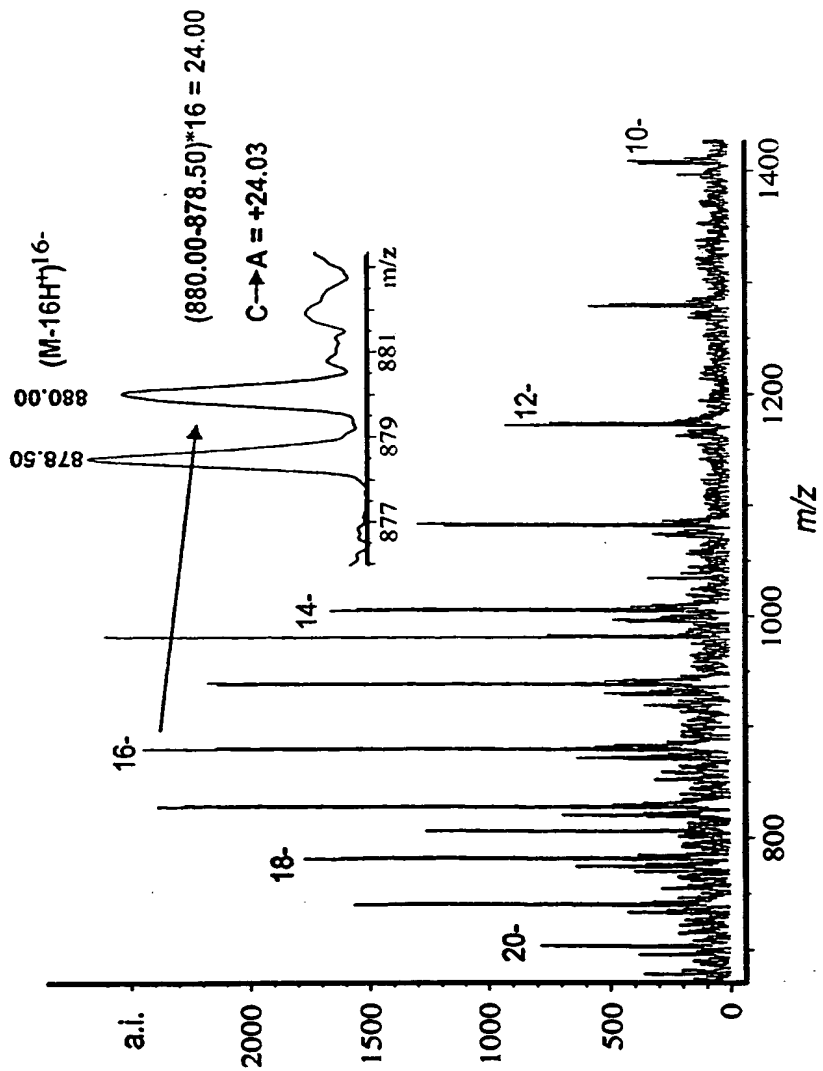


FIG. 8

ESI-TOF MS of sspE 56mer + Calibrant

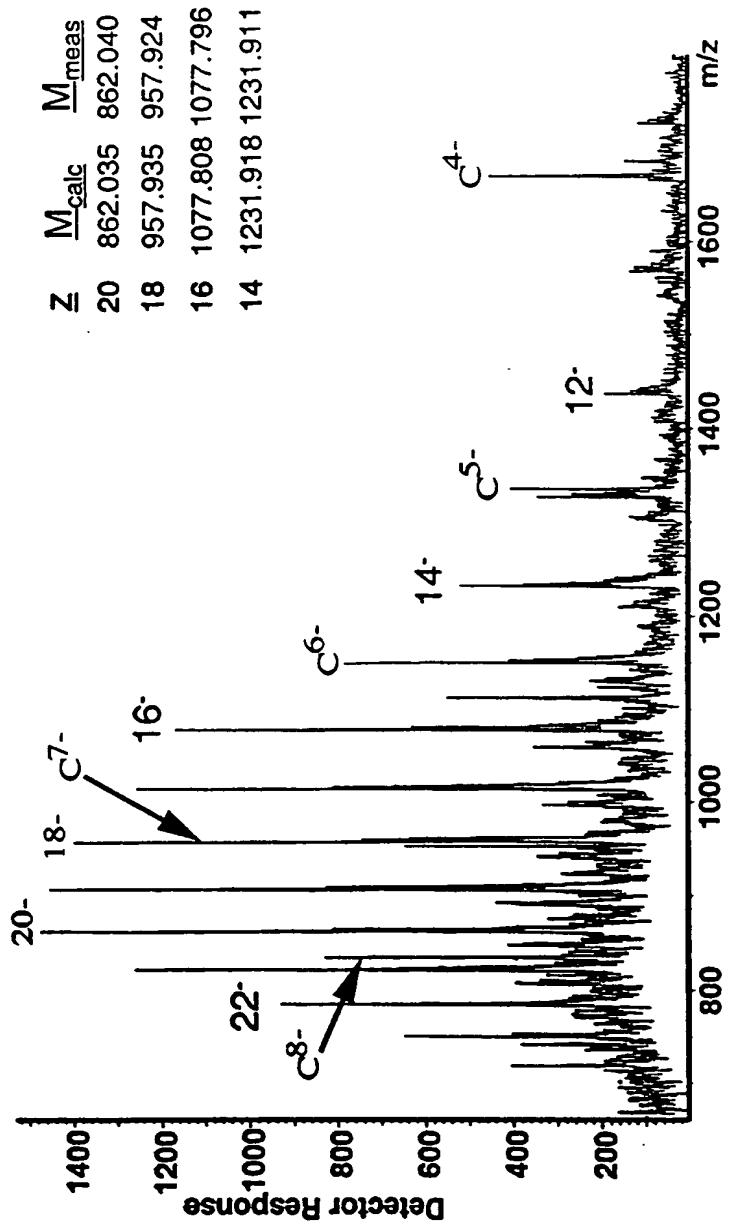


FIG. 9

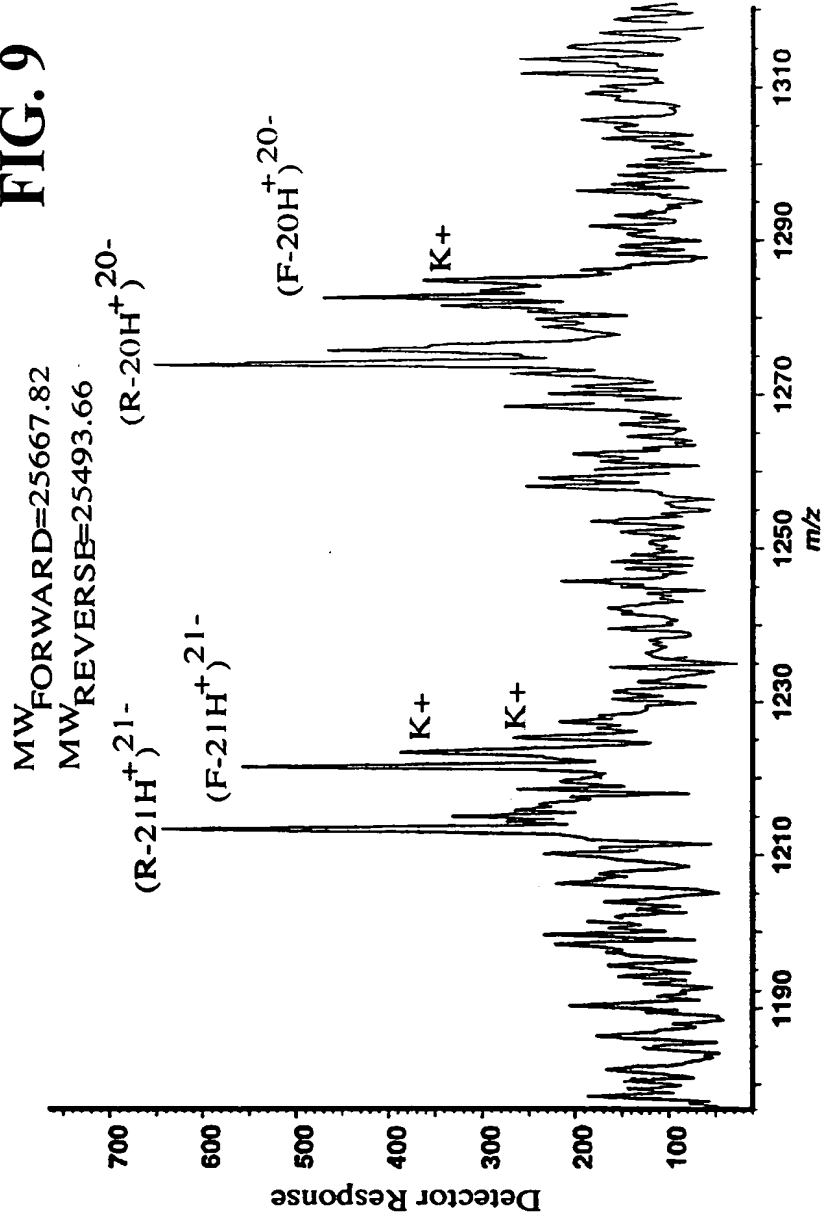


FIG. 10

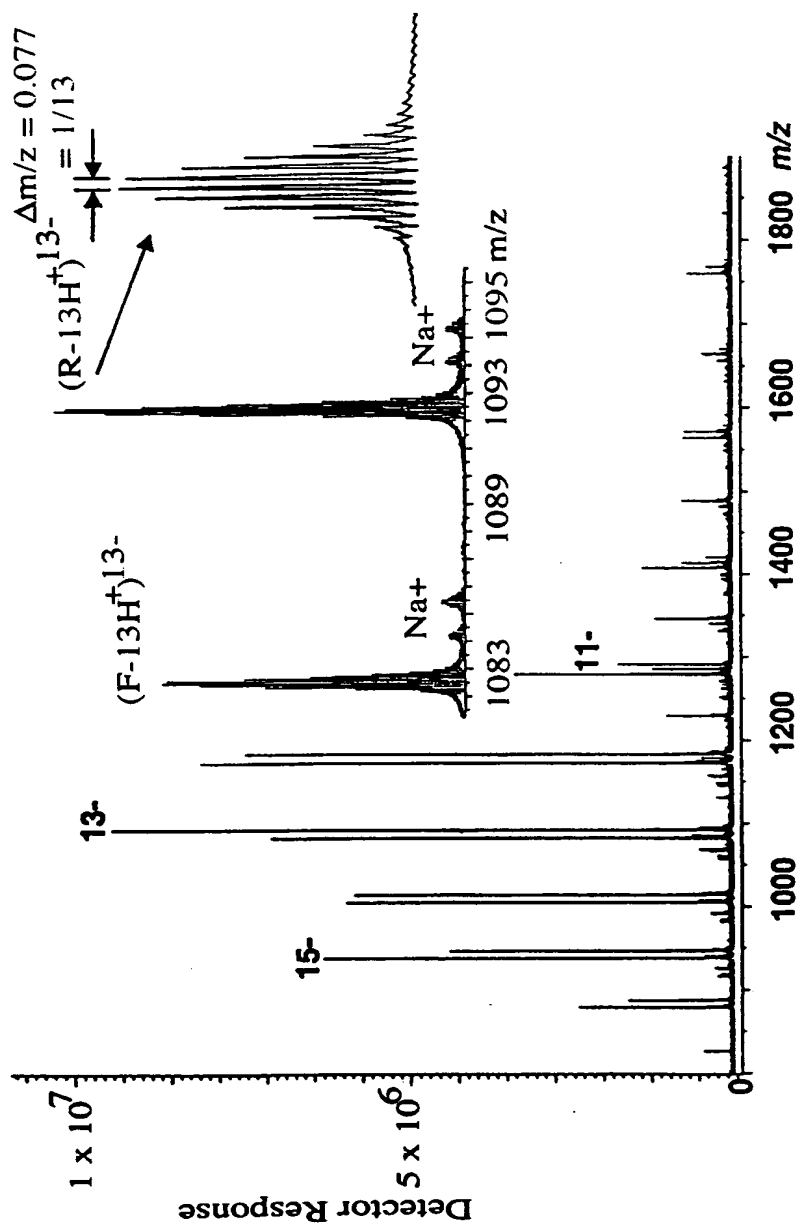


FIG. 11

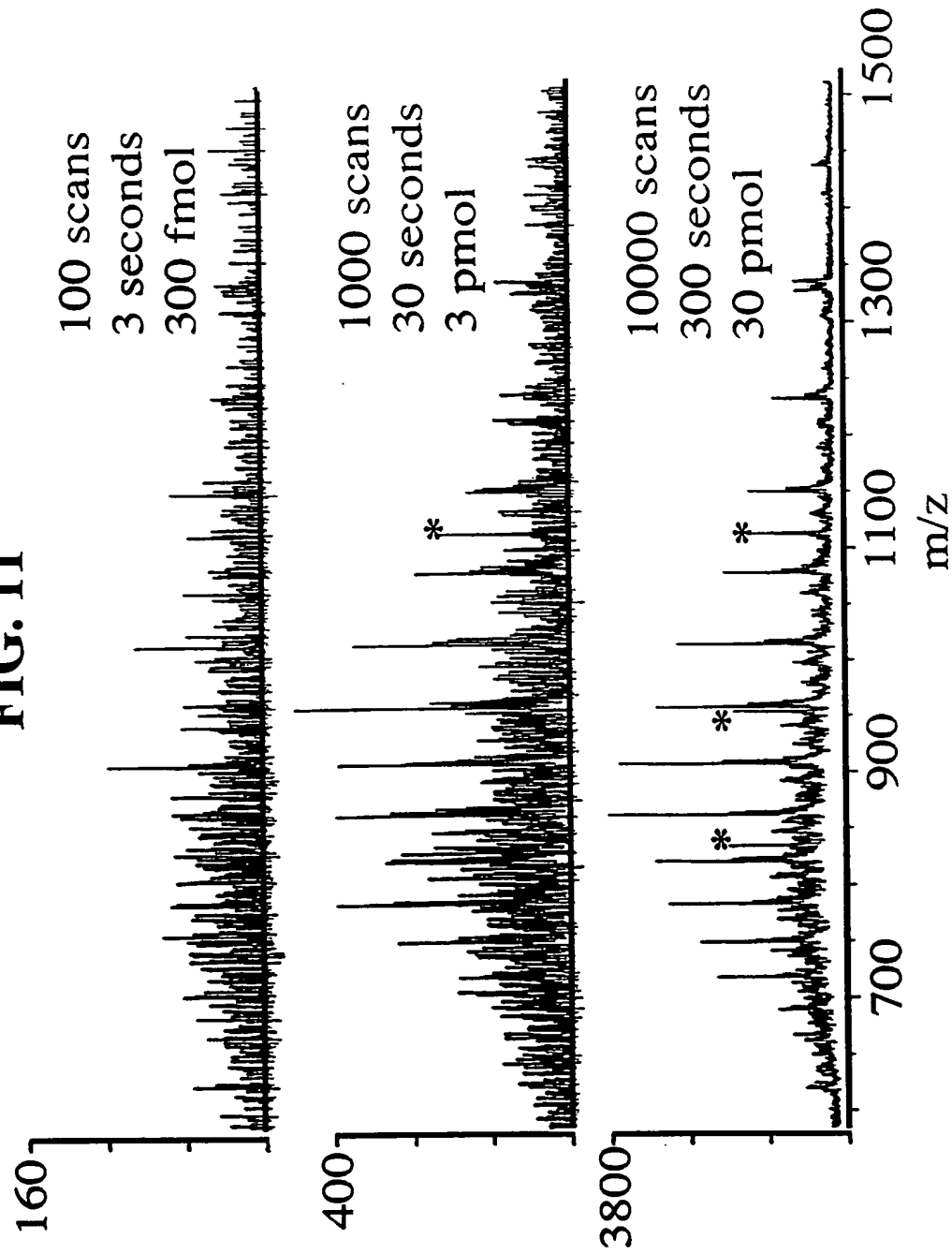


FIG. 12

